

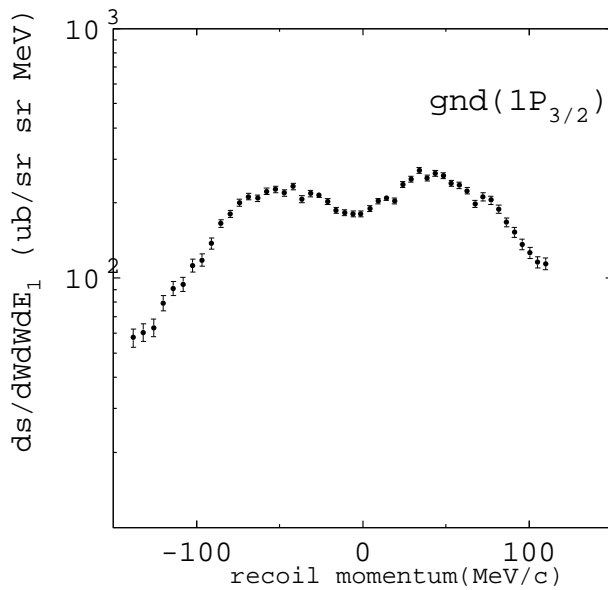
図 1: Spectrum

${}^6\text{Li}(p,2p){}^5\text{He}$  のスペクトル

左端のピークはターゲット中の水による p-p 散乱。  
A,B: ${}^6\text{Li}$  の p2p 反応の ground state (1P<sub>3/2</sub> ? 状態からの knockout 反応)。ここでは便宜的に 1P<sub>3/2</sub> と表記する。

C,D: ${}^6\text{Li}$  の 1S<sub>1/2</sub> 状態からの knockout 反応 (C,D)

各状態が幅を持っているが各々のピーク近傍と山のすそを分けて解析。



1P<sub>3/2</sub> 状態のピーク近傍 (A) の断面積の recoil momentum 分布 (log scale)

図 2: 1P<sub>3/2</sub> 状態のピーク近傍 (A)

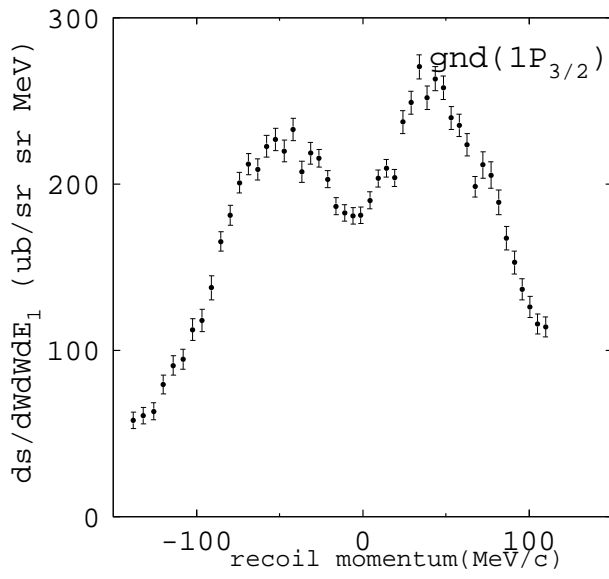


図 3:  $1P_{3/2}$  状態のピーク近傍 (A)

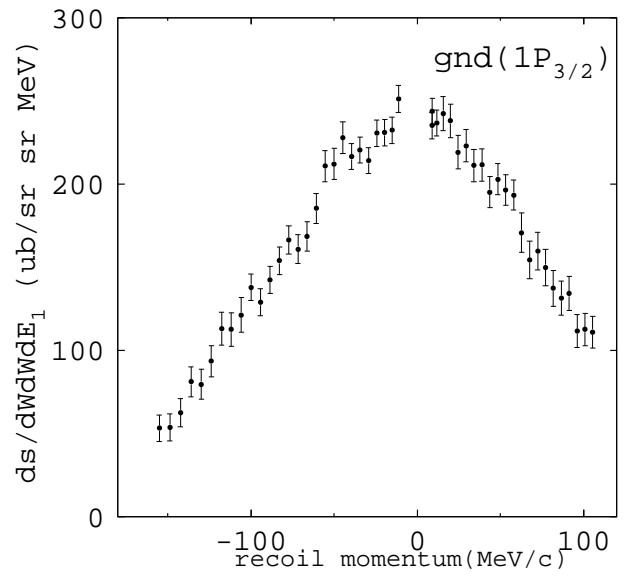


図 4:  $1P_{3/2}$  状態のすそ側 (B)

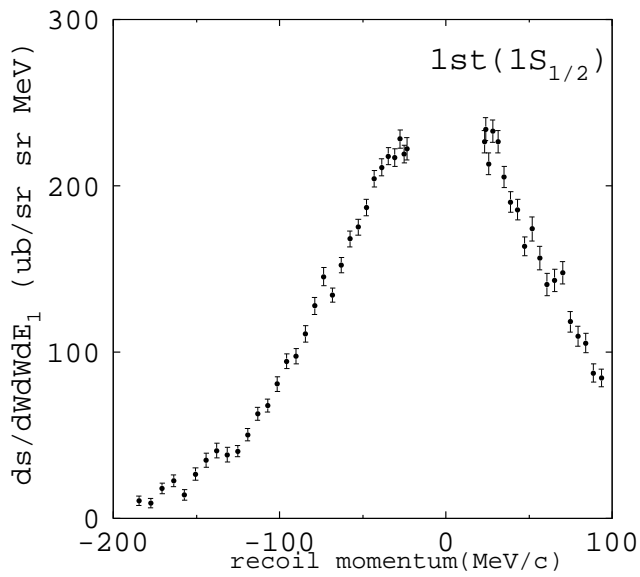


図 5:  $1S_{1/2}$  状態のピーク近傍 (C)

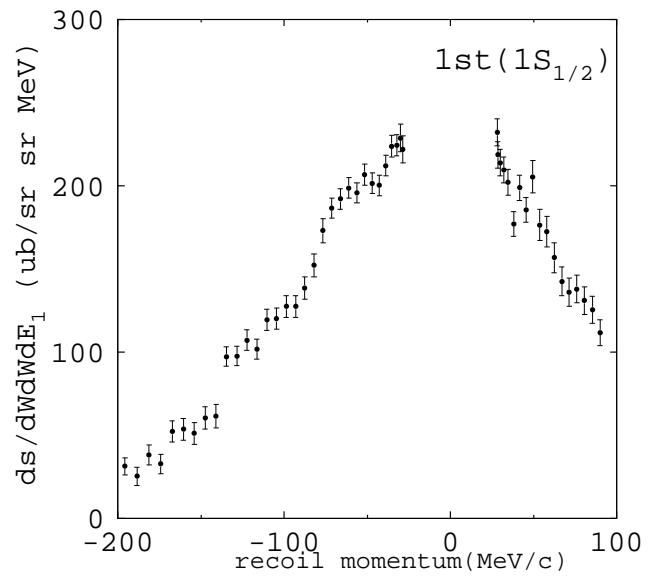


図 6:  $1S_{1/2}$  状態のすそ側 (D)